

40026315 · 122004

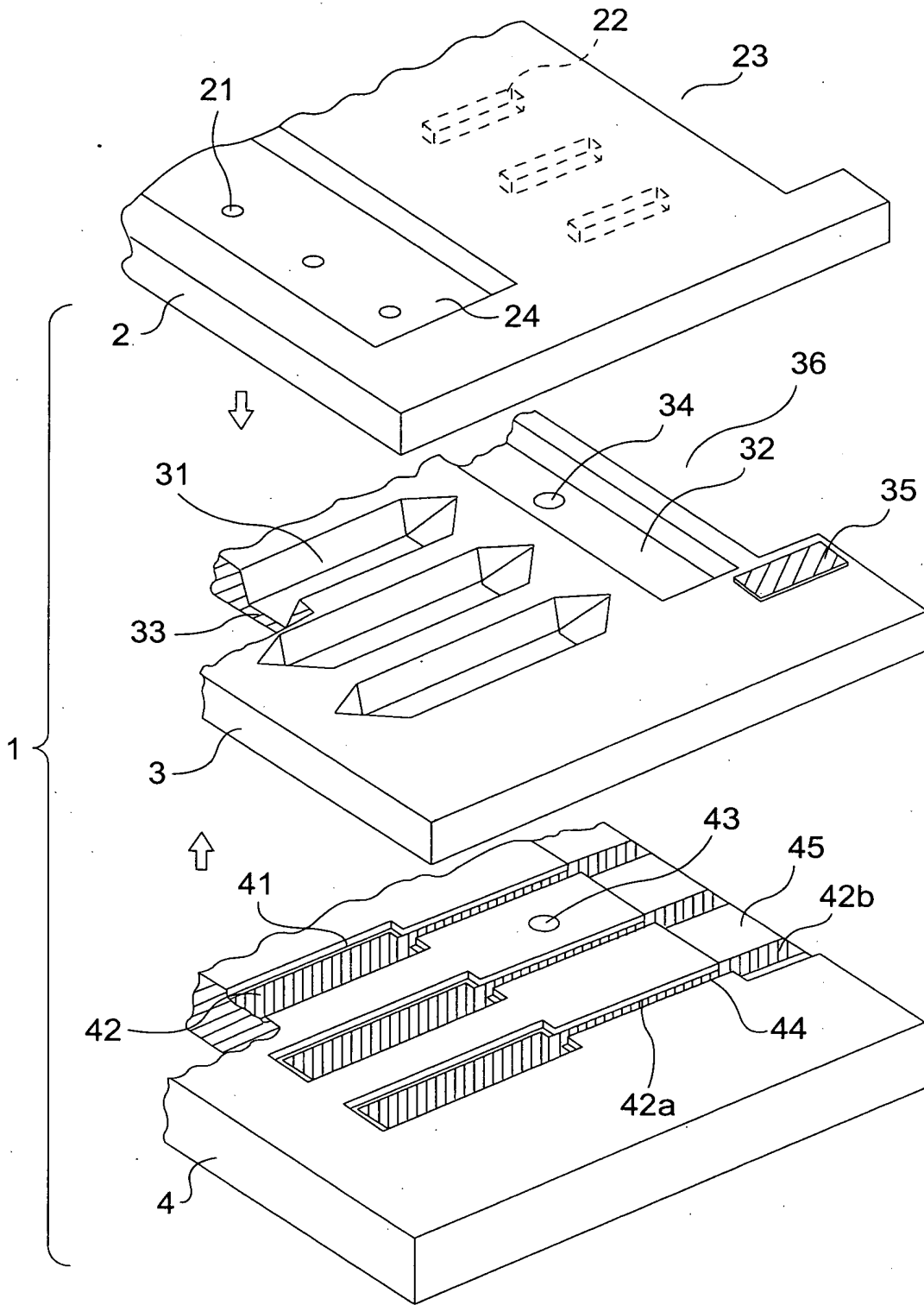


FIG.1

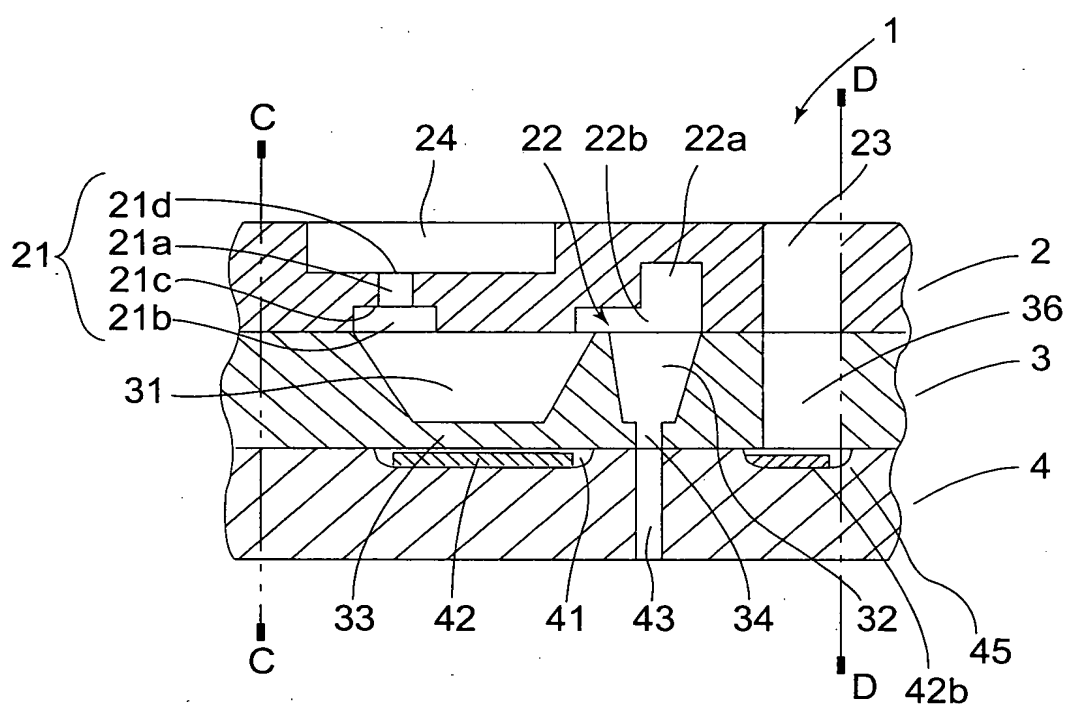


FIG.2

Fig. 3(A) Step1

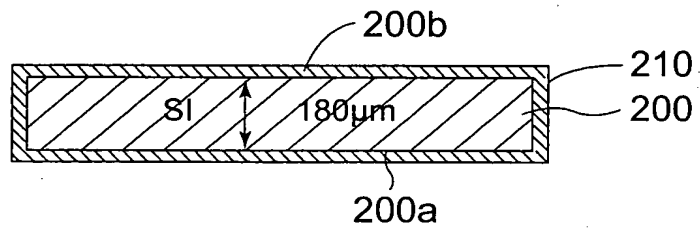


Fig. 3(B) Step2

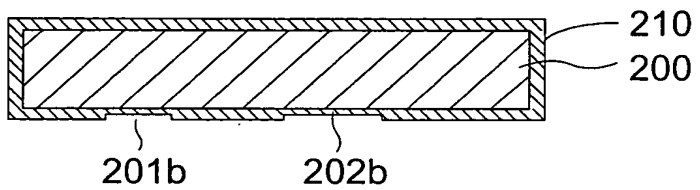
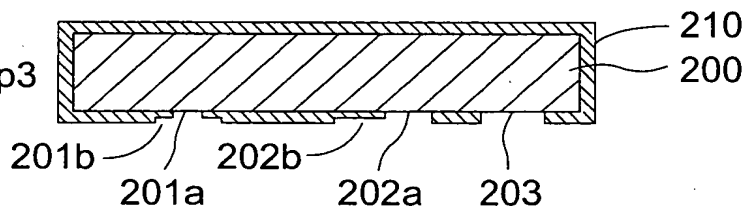
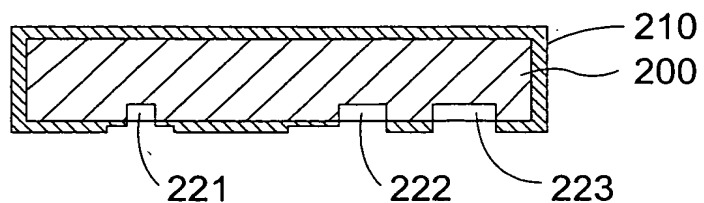


Fig. 3(C) Step3



4/10

Fig. 4(A) Step4



•ICP processing•

Fig. 4(B)

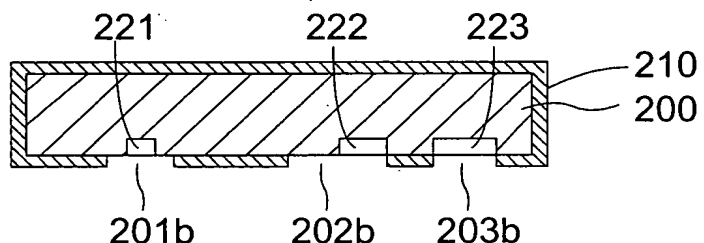
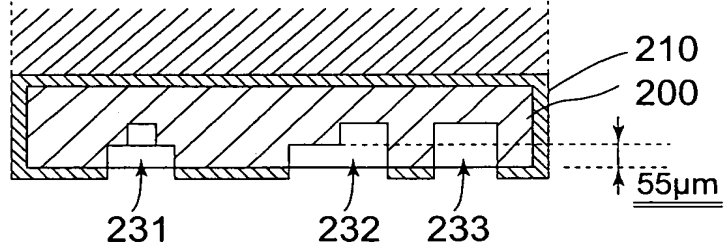


Fig. 4(C) Step5



•ICP processing•

Fig. 4(D)

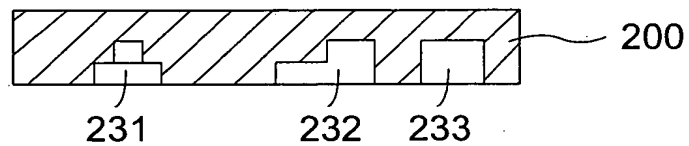


FIG.4

Fig. 5(A) Step6

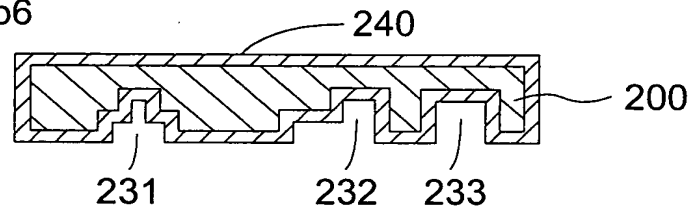


Fig. 5(B) Step7

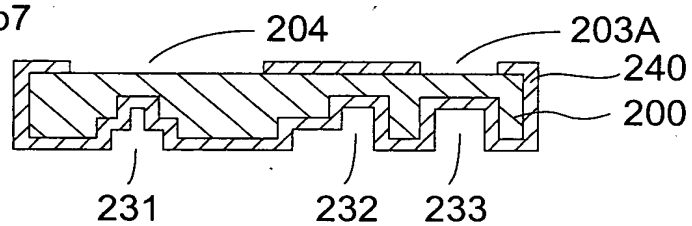


Fig. 5(C) Step8

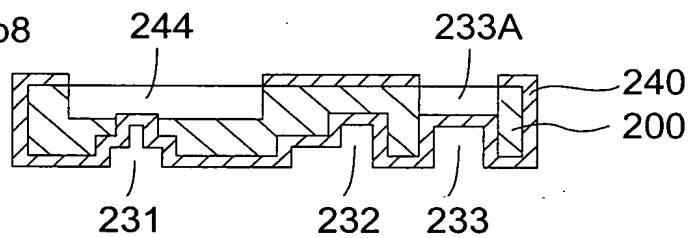


Fig. 5(D)

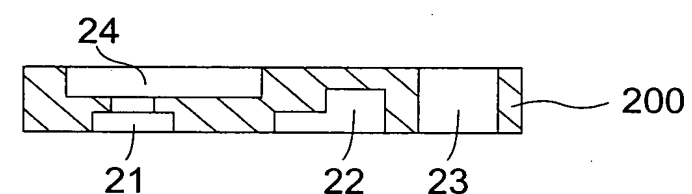


FIG.5

6/10

3.0026345 4.22004

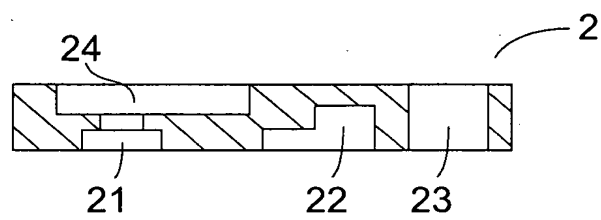


FIG.6

Fig. 7(A) Step1

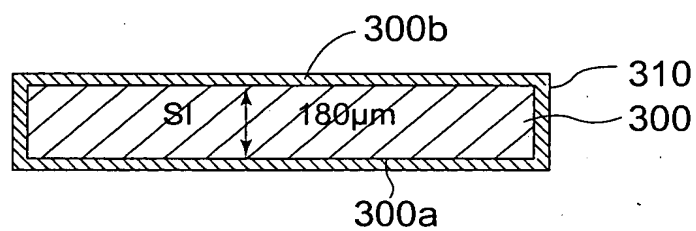


Fig. 7(B) Step2

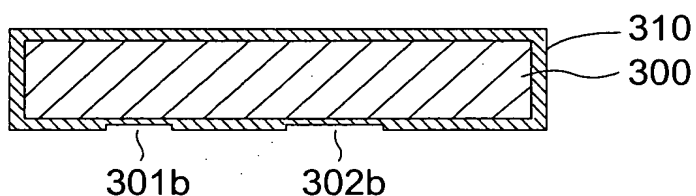
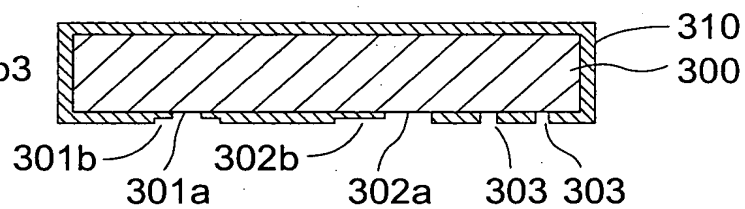


Fig. 7(C) Step3



8/10

Fig. 8(A) Step4

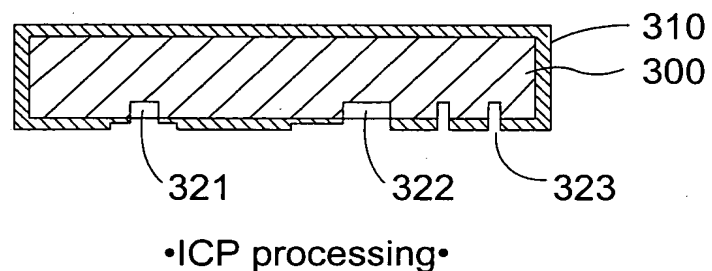


Fig. 8(B)

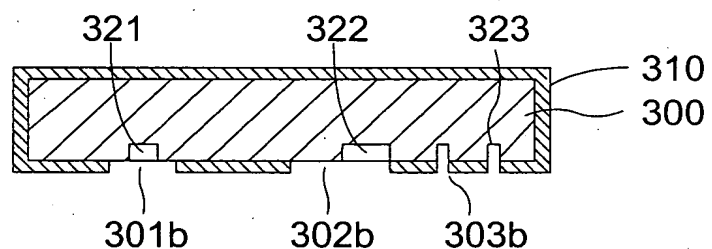


Fig. 8(C) Step5

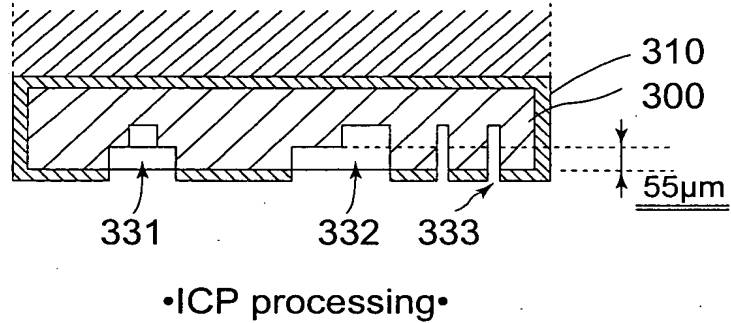


Fig. 8(D)

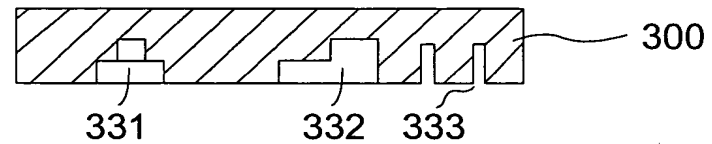


FIG.8

Fig. 9(A) Step6

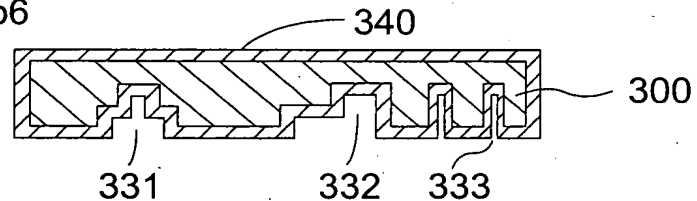


Fig. 9(B) Step7

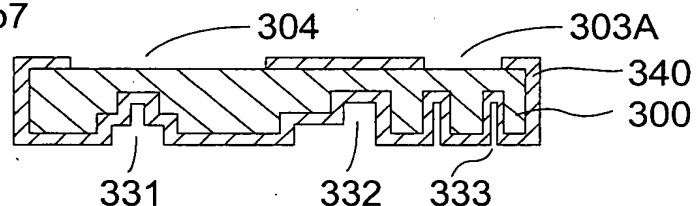


Fig. 9(C) Step8

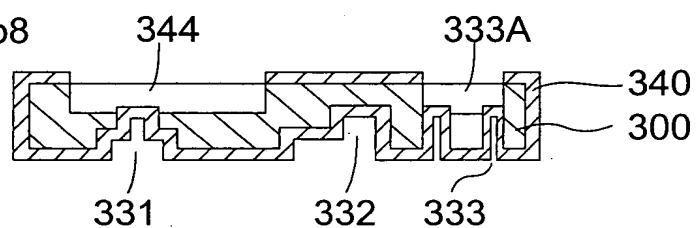


Fig. 9(D)

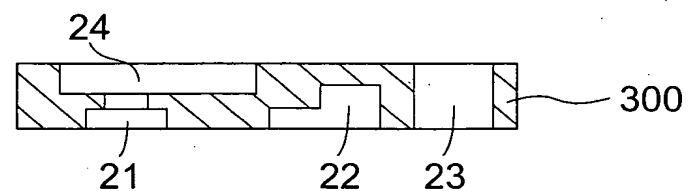


FIG.9

10/10

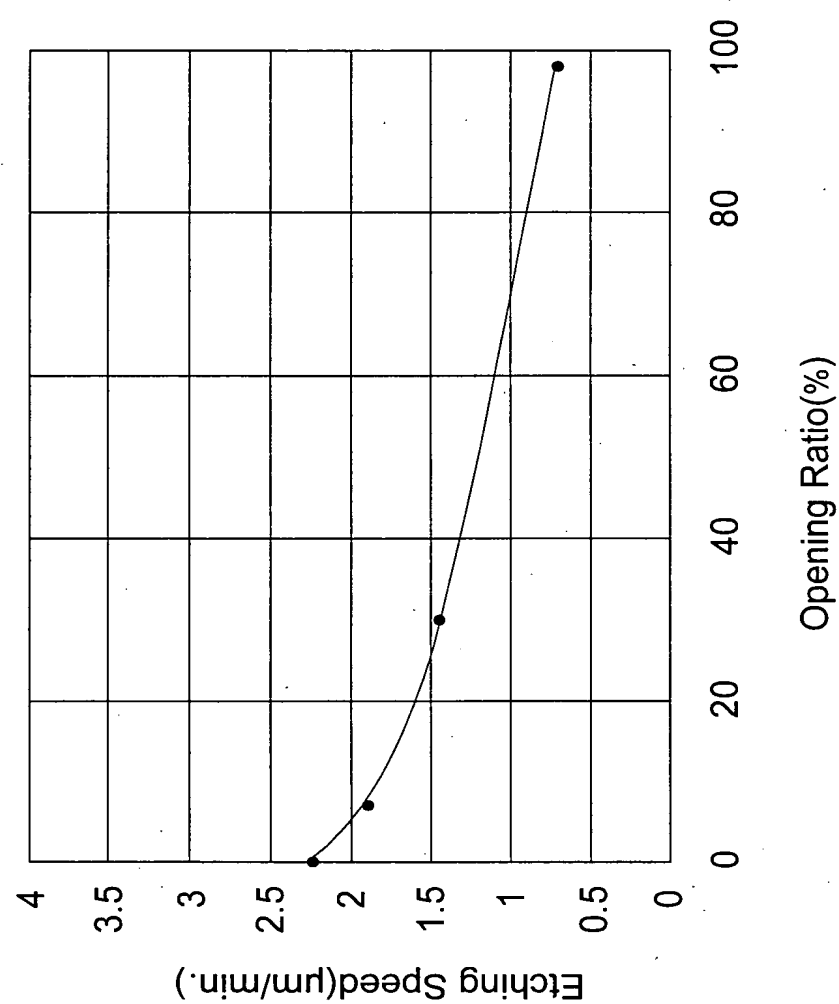


FIG.10